

## Na<sup>+</sup>(K<sup>+</sup>)/H<sup>+</sup>转运蛋白NHX基因的研究进展

李 静, 刘 明, 孙 晶, 李思楠, 李文滨, 武小霞

(东北农业大学农学院, 大豆生物学教育部重点实验室, 黑龙江 哈尔滨 150030)

**摘要:** Na<sup>+</sup>(K<sup>+</sup>)/H<sup>+</sup>转运蛋白是液泡膜中的一种离子反向运输体, 是生物界普遍存在的负责Na<sup>+</sup>(K<sup>+</sup>)/H<sup>+</sup>交换的一种跨膜运输蛋白。Na<sup>+</sup>(K<sup>+</sup>)/H<sup>+</sup>逆向转运蛋白由NHX家族基因调控表达。过表达NHX家族基因能提高植物中Na<sup>+</sup>(K<sup>+</sup>)/H<sup>+</sup>逆向转运蛋白的活性。从而调节细胞质内pH值、维持Na<sup>+</sup>(K<sup>+</sup>)浓度、K<sup>+</sup>/Na<sup>+</sup>比、保持细胞膨压、控制细胞扩增的功能, 是植物耐盐的关键因子。该文主要对Na<sup>+</sup>(K<sup>+</sup>)/H<sup>+</sup>逆向转运蛋白的发现、功能以及调控其表达的NHX基因的克隆、分类及其与抗旱耐盐之间的关系进行了综述, 旨在全面了解其功能和作用机理后将其转入到大豆基因组中, 获得抗旱耐盐的转基因大豆种质。

**关键词:** Na<sup>+</sup>(K<sup>+</sup>)/H<sup>+</sup>转运蛋白; NHX基因; 研究进展

中图分类号: Q946.2 文献标识码: A 文章编号: 1000-9841(2011)06-1035-05

## Progress of Research on Na<sup>+</sup>(K<sup>+</sup>)/H<sup>+</sup> Antiporter NHX Gene

LI Jing, LIU Ming, SUN Jing, LI Si-nan, LI Wen-bin, WU Xiao-xia

(Agriculture College of Northeast Agricultural University, Key Laboratory of Soybean Biology of Chinese Ministry of Education, Harbin 150030, Heilongjiang, China)

**Abstract:** Na<sup>+</sup>(K<sup>+</sup>)/H<sup>+</sup> antiporter are ubiquitous membrane proteins which catalyze the exchange of Na<sup>+</sup>(K<sup>+</sup>) for H<sup>+</sup> across membranes and play important roles in controlling cellular pH, Na<sup>+</sup> homeostasis, cell turgor pressure and cell proliferation. In particular, the vacuolar Na<sup>+</sup>(K<sup>+</sup>)/H<sup>+</sup> antiporter has been investigated and proposed to play an important role in salt tolerance. NHX gene control the expression of Na<sup>+</sup>(K<sup>+</sup>)/H<sup>+</sup> antiporter, overexpress NHX gene in plants can improve the activity of Na<sup>+</sup>(K<sup>+</sup>)/H<sup>+</sup> antiporter. In the study of plant stress tolerance, more and more researchers have paid attention to Na<sup>+</sup>(K<sup>+</sup>)/H<sup>+</sup> antiporter. NHX gene which control expression of Na<sup>+</sup>(K<sup>+</sup>)/H<sup>+</sup> antiporter were found in many crops, and proved its relationship with the resilience. In this study, the found and functions of Na<sup>+</sup>(K<sup>+</sup>)/H<sup>+</sup> antiporter, together with cloning and classification of NHX gene and the relationship between drought tolerance were reviewed. In order to obtain the transgenic soybean with drought resistance, understanding of function and action mechanism made a foundation for soybean NHX gene transformation.

**Key words:** Na<sup>+</sup>(K<sup>+</sup>)/H<sup>+</sup> antiporter; NHX gene; Research progress

土壤干旱和盐碱化对农作物产量造成严重影响。近年来我国陆续遭遇干旱天气, 给农作物造成巨大损失。而许多地区由于灌溉不当、植被的破坏和海水入侵等因素, 也造成相当大面积的次生盐渍化土壤, 盐碱土的面积与日俱增。干旱和盐碱化影响植物生长的方式多种多样, 但是对于干旱敏感和盐敏感的植物而言, 主要是细胞中钾、钠离子的毒害。植物细胞质中钾、钠离子大量积累导致细胞生理生化代谢活动受到抑制, 细胞内离子平衡遭受破坏。对干旱盐碱的研究表明, 植物中存在某种蛋白可以通过将钠、钾离子排出细胞质, 保持细胞质渗透平衡, 这种蛋白被称为Na<sup>+</sup>(K<sup>+</sup>)/H<sup>+</sup>转运蛋白,

受NHX家族基因控制。Na<sup>+</sup>(K<sup>+</sup>)/H<sup>+</sup>逆向转运蛋白通过Na<sup>+</sup>(K<sup>+</sup>)外排和Na<sup>+</sup>(K<sup>+</sup>)区隔化来保持植物细胞内的低Na<sup>+</sup>(K<sup>+</sup>)水平, 具有调节细胞质内pH值和Na<sup>+</sup>(K<sup>+</sup>)浓度的功能, 是植物抗旱耐盐的关键因子<sup>[1]</sup>, 也是维持细胞质中高K<sup>+</sup>/Na<sup>+</sup>比的最有效机制之一。

由于土壤干旱盐碱给大豆生产造成巨大损失, 培育抗旱耐盐大豆新品种是解决问题的关键。但是由于资源和育种年限的限制, 传统育种方式一直无法获得抗旱耐盐性较强的大豆新品种。近年来随着分子生物学的发展, 基因克隆和转基因技术的成熟, 使通过基因工程手段获得转基因抗旱耐盐大

收稿日期: 2011-05-24

基金项目: 国家自然科学基金资助项目(3107438); 黑龙江省教育厅课题资助项目(11551048); 转基因生物新品种培育重大专项资助项目(2011ZX08004-002); 东北农业大学博士后基金与博士启动基金资助项目(2009RC47)。

第一作者简介: 李静(1984-), 女, 在读硕士, 研究方向为大豆遗传育种及生物技术。E-mail: lijing191314@yahoo.com.cn。

通讯作者: 武小霞(1971-), 女, 博士, 研究员, 从事大豆遗传育种与生物技术应用研究。E-mail: dadousuo@yahoo.com.cn。

豆品种成为可能。该文对  $\text{Na}^+(\text{K}^+)/\text{H}^+$  逆向转运蛋白的发现、功能以及 *NHX* 基因的克隆、分类及与抗旱耐盐之间的关系等方面内容进行综述,为大豆 *NHX* 基因遗传转化,培育抗旱耐盐大豆品种奠定理论基础。

## 1 $\text{Na}^+(\text{K}^+)/\text{H}^+$ 逆向转运蛋白及 *NHX* 基因的发现

$\text{Na}^+(\text{K}^+)/\text{H}^+$  逆向转运蛋白已经在许多物种的质膜上被测量出来。第一个质膜上的  $\text{Na}^+(\text{K}^+)/\text{H}^+$  逆向转运蛋白是 1976 年在老鼠肾细胞中发现的<sup>[2]</sup>。植物中的  $\text{Na}^+(\text{K}^+)/\text{H}^+$  逆向转运蛋白是在大麦质膜上首次发现<sup>[3]</sup>。

1999 年 Gaxiola 等<sup>[4]</sup>首先在植物拟南芥基因组测序中发现  $\text{Na}^+(\text{K}^+)/\text{H}^+$  转运蛋白基因,该基因与编码动物血浆蛋白细胞膜  $\text{Na}^+/\text{H}^+$  逆向转运蛋白的 *NHE* 家族的基因有很高的同源性,同时与酵母 *ScNHX1* 有同源性,在当时命名为 *AtNHX1*。*AtNHX1* 被确定为一个重要的与抗旱耐盐性相关的基因,它能够促进钠离子在液泡中积累。*AtNHX1* 和家族其它成员在 pH 和  $\text{K}^+$  稳态调节方面也发挥关键作用,调节过程包括囊泡转运、细胞功能和植物的进化<sup>[5]</sup>。随着研究的深入更多的 *NHX* 基因在植物、真菌和动物中被确定,包括烟草、大麦、长春花、棉花、海滨车前、向日葵、冰叶日中花、拟南芥,碱蓬、盐角草、小麦、玉米、酿酒酵母、芦苇、互花米草、橄榄型油菜、甜菜等。

## 2 $\text{Na}^+(\text{K}^+)/\text{H}^+$ 逆向转运蛋白的生理功能

植物受到盐胁迫时,通常把盐从细胞质和细胞器中清除,使其集中于液泡中,这种现象称之为盐的区隔化,而盐分区隔化是依赖于液泡膜上的  $\text{Na}^+(\text{K}^+)/\text{H}^+$  逆向转运蛋白来完成的。 $\text{Na}^+(\text{K}^+)/\text{H}^+$  逆向转运蛋白定位于质膜和液泡膜上,逆着  $\text{Na}^+(\text{K}^+)$  浓度梯度运输,将细胞质内的  $\text{Na}^+(\text{K}^+)$  外排或将  $\text{Na}^+(\text{K}^+)$  区隔化到液泡中,以维持细胞质中低  $\text{Na}^+$  浓度,降低细胞渗透势,促使细胞从外界环境中吸水,避免水分胁迫。 $\text{Na}^+(\text{K}^+)/\text{H}^+$  逆向转运蛋白参与了细胞质内的 pH、 $\text{Na}^+(\text{K}^+)$  浓度调节及细胞体积变化等生命活动<sup>[6]</sup>。Yamaguchi 等<sup>[7-8]</sup>构建了液泡膜  $\text{Na}^+(\text{K}^+)/\text{H}^+$  逆向转运蛋白的一种拓扑结构,由 *AtNHX1* 蛋白的 C 端来选择调节逆向转运蛋白阳离子的运输。亲水性 C 端的去除导致了  $\text{Na}^+(\text{K}^+)/\text{H}^+$  转运的显著增加, $\text{Na}^+/\text{K}^+$  转运的比例也是未修饰 *AtNHX1* 的 2 倍。*AtNHX1* C 末端对

$\text{Na}^+(\text{K}^+)/\text{H}^+$  逆向转运蛋白底物选择性调控以及液泡中的 pH 值对  $\text{Na}^+(\text{K}^+)/\text{H}^+$  转运蛋白与阳离子亲和性的调控表明:液泡腔内可能存在调控转运蛋白活性的一些表达机制。

$\text{Na}^+(\text{K}^+)/\text{H}^+$  逆向转运蛋白转运  $\text{Na}^+(\text{K}^+)$  进入液泡的动力来源于液泡膜上的质子泵产生的跨膜电化学势梯度<sup>[9]</sup>。液泡膜的质子泵由液泡膜  $\text{H}^+$ -ATPase 和  $\text{H}^+$ -PPiase 组成。 $\text{H}^+$ -ATPase 是植物耐盐能力的决定因素之一,通常盐胁迫初期液泡膜  $\text{H}^+$ -ATPase 基因表达增强,使其酶活性和泵运质子能力增强<sup>[10]</sup>。而质膜  $\text{H}^+$ -ATPase (P-ATPase) 用水解 ATP 产生的能量将  $\text{H}^+$  从细胞质中泵出细胞,产生跨质膜的  $\text{H}^+$  电化学势梯度,提供能量<sup>[11]</sup>,从而驱动质膜上的  $\text{Na}^+(\text{K}^+)/\text{H}^+$  逆向转运蛋白,使  $\text{H}^+$  顺其电化学势进入细胞, $\text{Na}^+(\text{K}^+)$  则逆电化学势排出细胞<sup>[12]</sup>。

## 3 $\text{Na}^+(\text{K}^+)/\text{H}^+$ 逆向转运蛋白 *NHX* 基因的克隆

1989 年 Sardet 等<sup>[13]</sup>完整的克隆了第一个人类  $\text{Na}^+(\text{K}^+)/\text{H}^+$  逆向转运蛋白 (NHE)。第一个高等植  $\text{Na}^+(\text{K}^+)/\text{H}^+$  逆向转运蛋白基因的克隆是由 Barkla 等<sup>[14]</sup>在 1994 年完成的,在当时也只是克隆出了这个基因的一部分,包含 1.65 kb 编码跨膜区域和 1 个大的亲水 C 末端。近年来随着分子生物学研究的深入发展,对植物  $\text{Na}^+(\text{K}^+)/\text{H}^+$  逆向转运蛋白基因的克隆也在逐渐发展。Fukuda 等<sup>[15]</sup>在水稻中分离出 1 个含 1 608 bp 的开放阅读框的 2 330 bp 的 *OsNHX1* 基因,此基因氨基酸序列和哺乳动物的 *NHX1* 基因相似,同时研究结果显示这个基因的表达提高了植物的耐盐性。Fukuda 等<sup>[16]</sup>利用 RT-PCR 及 RACE 的方法从盐生植物大麦中克隆出  $\text{Na}^+/ \text{H}^+$  逆向转运蛋白基因 *HVNHX1*;吕慧颖等<sup>[17]</sup>通过 RT-PCR 及 RACE 的方法从盐生植物番杏中克隆出了 1 个可编码 554 个氨基酸的液泡型  $\text{Na}^+/ \text{H}^+$  逆向转运蛋白基因;对于  $\text{Na}^+(\text{K}^+)/\text{H}^+$  逆向转运蛋白 *NHX* 基因的研究自 2005 年开始迅速发展,Brini 等<sup>[18]</sup>通过 PCR 手段克隆出小麦 *NHX1* 基因,并通过功能分析表明小麦的抗旱性来自于 *NHX1* 基因调控表达的逆向转运蛋白的功能;Zorb 等<sup>[19]</sup>成功克隆出了 6 个玉米质膜型 *NHX* 基因 *ZmNHX1~6*;Lu 等<sup>[20]</sup>从大麦中克隆出  $\text{Na}^+/ \text{H}^+$  转运蛋白基因 *HbNHX1*。2006 年,杨树的 *NHX* 基因 *PtNHX1* 和 *PtNHX6*、酿酒酵母 *NHX1* 和胡杨的 *PeNHX2* 分别被克隆出来;随后胡杨 *PeNHX1*、菊芋 *Ht-*

NHX1、紫花苜蓿 *MsNHX1* 和獐毛 *AlNHX* 也逐渐以不同的方法被克隆出来。至今克隆出 NHX 基因的植物还包括互花米草、甘蓝型油菜、芦苇、紫羊茅、大叶补血草和木榄等。

不同植物 NHX 基因有较高序列同源性(图 1)<sup>[21]</sup>。Zorb 等<sup>[19]</sup>对比 *ZmNHX1~6* 与 *AtNHX1*、*LeNHX1* 氨基酸序列显示 *ZmNHX1~6* 基因序列与 *AtNHX1* 相似度达 78%, 与番茄 *LeNHX1* 基因序列相似度达到 63%; 张霞等<sup>[22]</sup>研究表明胡杨 *PeNHX2* 基因与毛白杨 *PtNHX* 基因在核酸及蛋白质水平上的同源性均达到最高, 分别为 90.60% 和 88.25%, 与新疆盐生植物中所克隆的犁苞滨藜 *AdNHX1*、灰绿藜 *CgNHX1*、盐爪爪 *KfNHX* 同源性也较高, 核酸水平上依次为 75.1%、74.0%、74.3%, 蛋白质水平依次为 78.3%、79.0%、78.3%; 安宝燕等<sup>[23]</sup>对紫花苜蓿定位在液泡膜上的 Na<sup>+</sup>/H<sup>+</sup> 逆向转运蛋白基因进行序列分析表明, 该基因所编码的 Na<sup>+</sup>/H<sup>+</sup> 逆向转运蛋白与拟南芥、水稻和棉花中液泡型 Na<sup>+</sup>/H<sup>+</sup> 逆向转运蛋白具有较高的同源性, 基因的相似度分别为 77.3%、75.7% 和 72.7%; 赵祥强等<sup>[24]</sup>对互花米草 NHX 基因进行序列分析表明该基因与水稻 NHX 基因氨基酸序列一致性达 95%; 与拟南芥 *AtNHX5* 和 *AtNHX6* 氨基酸序列一致性分别为 82%、86%; 郭庆水等<sup>[25]</sup>研究表明木榄 Na<sup>+</sup>/H<sup>+</sup> 逆向转运蛋白序列与蓖麻、胡杨、葡萄、百脉根等植物的液泡膜型 Na<sup>+</sup>/H<sup>+</sup> 逆向转运蛋白序列具有很高的同源性(80%以上)。Wu 等<sup>[26]</sup>的报告显示霸王花的 Na<sup>+</sup>/H<sup>+</sup> 转运蛋白基因 *ZxNHX* 与其它物种液泡 Na<sup>+</sup>/H<sup>+</sup> 转运蛋白的 NHX 基因有很高的相似度; NHX 基因保守性很高, 说明 NHX 基因在家族许多物种的生长和生理调节过程中起着重要作用。

#### 4 Na<sup>+</sup>(K<sup>+</sup>)/H<sup>+</sup> 逆向转运蛋白及 NHX 基因的分类

根据 Saier 等<sup>[27]</sup>的分类, 阳离子/质子逆向转运蛋白可分为 CPA1 和 CPA2 家族。现阶段越来越多的细胞内 Na<sup>+</sup>(K<sup>+</sup>)/H<sup>+</sup> 转运蛋白在植物、动物和真菌中被发现, 构成一个特别的转运蛋白家族——NHX 家族。这个家族又分为 Class-I 和 Class-II 2 种序列类型, 这 2 种序列有 20%~25% 的同源性。Class-I 家族逆向转运蛋白存在于陆生植物中并具有其专门的功能, Class-I 家族 NHX 亚型被证实定位在液泡膜上, 这似乎是 Class-I 家族的特征。植物 Class-II 序列在裸子植物和被子植物云杉与苔藓植物中被发现。创始成员由 IC-NHE/NHX 家族的 Sc-

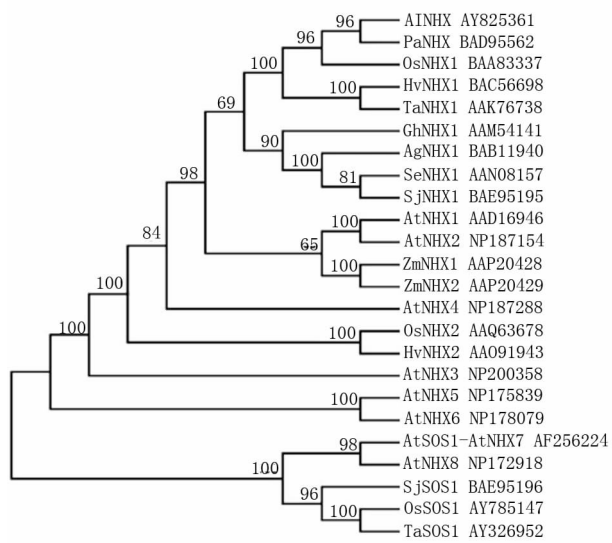


图 1 部分 NHX 家族基因亲缘关系进化树

Fig. 1 Evolutionary tree of partial NHX gene

NHX1 和人类的 NHE6 与 NHE7 组成, 这种逆向转运蛋白的功能主要表现在植物的各种小囊泡内, 如定位在液泡膜周围的小泡上、高尔基体上等。

Na<sup>+</sup>(K<sup>+</sup>)/H<sup>+</sup> 逆向转运蛋白基因在动物体内已经发现了 7 类同型体(NHE), 广泛存在于各类组织细胞中, NHE1~5 分布在细胞膜上, NHE6、NHE7 分布在线粒体膜上。Na<sup>+</sup>(K<sup>+</sup>)/H<sup>+</sup> 转运蛋白也已经从植物中分离出来, 主要分为 2 类, 分别是存在于质膜上的 Na<sup>+</sup>(K<sup>+</sup>)/H<sup>+</sup> 转运蛋白以及液泡膜上的转运蛋白<sup>[20]</sup>, 它们通过将 Na<sup>+</sup> 排出细胞质或通过 Na<sup>+</sup> 区隔化于液泡中以维持植物细胞质中低 Na<sup>+</sup>、K<sup>+</sup> 浓度。随着拟南芥基因组序列的完成, 发现了拟南芥 NHX 基因家族, 该家族共有 8 个成员, Yokoi 等<sup>[28]</sup>将 6 个拟南芥 NHX 家族进行分类表明, *AtNHX1~4* 分为一组, *AtNHX5* 和 *AtNHX6* 分为一组, 原因是 *AtNHX2~4* 与 *AtNHX1* 的相似度达到 56.0%~87.5%, 而 *AtNHX5* 与 *AtNHX6* 相似度达 78.7%; Zorb 等<sup>[19]</sup>克隆出 6 个玉米 Na<sup>+</sup>/H<sup>+</sup> 转运蛋白 NHX 基因 *ZmNHX1~6* 并进行分析报告表明, 玉米 *ZmNHX1~6*, 拟南芥 *AtNHX1~6*, 水稻 *OsNHX* 以及小麦 *TaNHX2* 相似划分为一类, *ZmNHX3~5* 和拟南芥 *AtNHX4~6* 以及番茄 *LeNHX2* 相似划分为一类; Wu 等<sup>[26]</sup>将 NHX 家族分为 Class-1 和 Class-2 家族, 其中 Class-1 家族 Na<sup>+</sup>/H<sup>+</sup> 转运蛋白包括 *AtNHX1~4*、*OsNHX1~4*、*SINHX1* 和 *ZxNHX*; Class-2 家族 Na<sup>+</sup>/H<sup>+</sup> 转运蛋白包括 *AtNHX5*、*AtNHX6*、*SINHX2*、*OsNHX3* 和 *OsNHX6*。现阶段发现的高等植物 NHX 基因分别为拟南芥 *AtNHX1~8*, 玉米 *ZmNHX1~6*, 水稻 *OsNHX1~5*, 大麦 *HvNHX1* 和 *HvNHX2*, 番

茄 *LeNHX1* 和 *LeNHX2*, 大豆 *GmNHX1* 等。

## 5 过表达 *NHX* 基因与抗旱耐盐性的关系

大多数耐盐植物经盐胁迫后  $\text{Na}^+(\text{K}^+)/\text{H}^+$  逆向转运蛋白的活性均会增加, 并且质子泵的活性也会增加。在膜质子泵提供的能量下,  $\text{Na}^+(\text{K}^+)/\text{H}^+$  逆向转运蛋白将  $\text{Na}^+$  要么区隔化于液泡中, 要么排到植物体外, 从而降低细胞质中  $\text{Na}^+(\text{K}^+)$  的浓度, 使过多的  $\text{Na}^+(\text{K}^+)$  离开代谢位点, 减轻其对酶和膜系统的伤害, 特别是  $\text{Na}^+(\text{K}^+)$  的区隔化还可降低细胞水势, 抵抗盐分造成的渗透胁迫。所以,  $\text{Na}^+(\text{K}^+)/\text{H}^+$  逆向转运蛋白与植物的抗盐性有着重要关系, 特别是  $\text{Na}^+$  通过  $\text{Na}^+(\text{K}^+)/\text{H}^+$  逆向转运在液泡中的积累是盐生植物和耐盐植物的主要特征。

越来越多的研究结果显示, 液泡膜  $\text{Na}^+(\text{K}^+)/\text{H}^+$  逆向转运蛋白在植物中过量表达可以提高植物的耐盐性。Apse 等<sup>[1]</sup> 将拟南芥液泡膜  $\text{Na}^+(\text{K}^+)/\text{H}^+$  逆向转运蛋白基因转入拟南芥中, 获得了可在 200  $\text{mmol}\cdot\text{L}^{-1}$   $\text{NaCl}$  中正常生长发育的转基因植株; Zhang 等<sup>[29-30]</sup> 将 *AtNHX1* 转入在番茄和油菜中, 均获得了在 200  $\text{mmol}\cdot\text{L}^{-1}$   $\text{NaCl}$  胁迫下能够正常生长、结实的转基因植株; Ohtaetal 等<sup>[31]</sup> 将滨藜属中的  $\text{Na}^+(\text{K}^+)/\text{H}^+$  逆向转运蛋白基因转入水稻, 赋予了水稻耐盐性; 过表达水稻、拟南芥、大麦中的  $\text{Na}^+(\text{K}^+)/\text{H}^+$  逆向转运蛋白 *NHX* 基因能够提高水稻、玉米、小麦、烟草的抗旱耐盐性; He 等<sup>[32]</sup> 在棉花中过表达 *AtNHX1* 基因发现在温室中 200  $\text{mmol}\cdot\text{L}^{-1}$   $\text{NaCl}$  处理条件下转基因棉花产量增加并产生更多的棉纤维, 田间种植的转基因棉花也能够产出更多更好的棉纤维, Wu 等<sup>[33]</sup> 将水稻液泡型  $\text{Na}^+/ \text{H}^+$  逆向转运蛋白 *OsNHX1* 基因转入獐毛中, 转基因獐毛植株能够在 350  $\text{mmol}\cdot\text{L}^{-1}$   $\text{NaCl}$  处理 10 周后正常存活。

2006 年以来, 过表达小麦、大豆、碱蓬、盐角草、拟南芥、水稻、獐毛、紫花苜蓿植物的  $\text{Na}^+(\text{K}^+)/\text{H}^+$  逆向转运蛋白 *NHX* 基因获得的转基因植株也都体现了耐盐性的增强; 随着对转基因植物安全的重视, 对于转基因载体的要求也逐渐增加。为了转基因作物能够商业化生产, 有很多科学家也开始设计 marker-free 载体, 2010 年 Li 等<sup>[34]</sup> 报道转 marker-free *AtNHX1* 基因的玉米在提高抗旱耐盐性的同时也提高了玉米的产量; Wu 等<sup>[26]</sup> 报道 *ZxNHX* 基因在盐胁迫和干旱胁迫中有重要作用。*ZxNHX* 基因所调控表达  $\text{Na}^+(\text{K}^+)/\text{H}^+$  逆向转运蛋白能够将  $\text{Na}^+$  从细胞质中分隔到液泡中, 特别是在芽中, 从而降低细胞的渗透压, 增加植物的吸水能力, 保持植物在盐

害和干旱条件下正常生长; Tian 等<sup>[35]</sup> 将 *AtNHX1* 基因转入猕猴桃中, 实验结果显示转 *AtNHX1* 基因猕猴桃能够抵抗 200  $\text{mmol}\cdot\text{L}^{-1}$   $\text{NaCl}$  胁迫, 证明过表达拟南芥 *AtNHX1* 基因能够增加猕猴桃的抗盐胁迫能力。

## 6 展望

$\text{Na}^+(\text{K}^+)/\text{H}^+$  逆向转运蛋白在大豆中具有广泛的研究价值和应用潜力。了解  $\text{Na}^+(\text{K}^+)/\text{H}^+$  逆向转运蛋白基因 *NHX* 的功能, 可为其在大豆中的应用奠定基础。在大豆基因组中过表达  $\text{Na}^+(\text{K}^+)/\text{H}^+$  逆向转运蛋白基因, 提高大豆的抗旱耐盐能力, 培育出抗旱耐盐的大豆新品种, 对于缩短育种年限, 提高大豆品种的抗旱耐盐能力具有重要意义。

## 参考文献

- [1] Apse M P, Aharon G S, Snedden W A. Salt tolerance conferred by overexpression of a vacuolar  $\text{Na}^+/\text{H}^+$  antiporter in *Arabidopsis* [J]. *Science*, 1999, 285:1256-1258.
- [2] Murer H, Hopfer V, Kinne R. Sodium/proton antiport in brush-border-membrane vesicles isolated from rat small intestine and kidney [J]. *Biochemical Journal*, 1976, 154:597-604.
- [3] Ratner A, Jacoby B. Effect of  $\text{K}^+$ , its counter anion and pH on sodium efflux from barley roots [J]. *Journal of Experimental Botany*, 1976, 148:425-433.
- [4] Gaxiola R A, Rao R, Sherman A. The *Arabidopsis thaliana* proton transporters, *AtNHX1* and *Atp1* can function in cation detoxification in yeast [J]. *Proceeding of the National Academy of Science of USA*, 1999, 96:1480-1485.
- [5] Sze H, Padmanaban S, Cellier F, et al. Expression patterns of a novel *AtCHX* gene family highlight potential roles in osmotic adjustment and  $\text{K}^+$  homeostasis in pollen development [J]. *Plant Physiology*, 2004, 136:2532-2547.
- [6] Pandan E, Schuldner S. Intracellular pH and membrane potential as regulators in the prokaryotic cell [J]. *Journal of Membrane Biology*, 1987, 95(3):189-198.
- [7] Yamaguchi T, Aharon G S, Sottosanto J B, et al. Vacuolar  $\text{Na}^+/\text{H}^+$  antiporter cation selectivity is regulated by calmodulin from within the vacuole in a  $\text{Ca}^{2+}$  and pH-dependent manner [J]. *Proceeding of the National Academy of Science of USA*, 2005, 102(44):16107-16112.
- [8] Yamaguchi T, Apse M P, Shi H, et al. Topological analysis of a plant vacuolar  $\text{Na}^+/\text{H}^+$  antiporter reveals a luminal C terminus that regulates antiporter cation selectivity [J]. *Proceeding of the National Academy of Science of USA*, 2003, 100(21):12510-12515.
- [9] Rausch T, Kirsch M, Zhigang A. Salt stress responses of higher plants: the role of proton pumps and  $\text{Na}^+/\text{H}^+$  antiporters [J]. *Journal of Plant Physiology*, 1996, 148:425-433.
- [10] Niu X, Narasimhan M L, Hasegawa P M, et al. NaCl regulation of plasma membrane  $\text{H}^+-\text{ATPase}$  gene expression in a glycophyte

- and halophyte[J]. Plant Physiology, 1993, 106: 713-718.
- [11] Waki T, Higashida Y, Watanabe Y. Characterization of flsecond gene ZS (OD22) of Na<sup>+</sup>/H<sup>+</sup> antiporter from salt tolerant yeast *Zygosaccharomyces rouxii* and functional expression of ZSOD2 and ZSOD22 in *Saccharomyces cerevisiae* [J]. Yeast, 1998, 14: 1167-1174.
- [12] Schachtman D P, Liu W. Molecular pieces to the puzzle of the interaction between potassium and sodium up take in plants [J]. Trend Plant Science, 1999, 4(7): 281-287.
- [13] Sardet C, Franchi A, Pouyssegur J. Molecular cloning, primary structure, and expression of the human growth factor-activatable Na<sup>+</sup>/H<sup>+</sup> antiporter[J]. Cell, 1989, 56(2): 271-280.
- [14] Barkla B J, Apse M P, Blumwald E. The plant vacuolar Na<sup>+</sup>/H<sup>+</sup> antiport[J]. Symposia of the Society Experiment Biology, 1994, 48:141-153.
- [15] Fukuda A, Nakamura A, Yoshiyuki T. Molecular cloning and expression of the Na<sup>+</sup>/H<sup>+</sup> exchanger gene in *Oryza sativa*[J]. Biochimica et Biophysica Acta, 1999, 1446(1-2): 149-155.
- [16] Fukuda A, Nakamura A, Yoshiyuki T, et al. Effect of salt and osmotic stresses on the expression of genes for the vacuolar H<sup>+</sup>-pyrophosphatase, H<sup>+</sup>-ATPase subunit A, and Na<sup>+</sup>/H<sup>+</sup> antiporter from barley[J]. Journal of Experimental Botany, 2004, 55 (397): 585-594.
- [17] 吕慧颖, 李银心, 陈华. 番杏 Na<sup>+</sup>/H<sup>+</sup> 逆向转运蛋白基因的克隆及特性分析[J]. 高技术通讯, 2004(11): 26-31 (Lv H Y, Li Y X, Chen H. Na<sup>+</sup>/H<sup>+</sup> antiporter gene cloning and sequence analysis in *Tetragonia*[J]. High Technology Letters, 2004(11): 26-31.)
- [18] Brini F, Gaxiola R A, Berkowitz G A, et al. Cloning and characterization of a wheat vacuolar cation/proton antiporter and pyrophosphatase proton pump [J]. Plant Physiology and Biochemistry, 2005, 43(4): 347-354.
- [19] Zorb C, Noll A, Karl S, et al. Molecular characterization of Na<sup>+</sup>/H<sup>+</sup> antiporters (ZmNHX) of maize (*Zea mays* L.) and their expression under salt stress [J]. Journal of Plant Physiology, 2005, 162(1): 55-66.
- [20] Lu S Y, Jin X Y, Li Y F. Antiporter gene from *Hordum brevisubulatum* (Trin.) link and its over expression in transgenic tobacco [J]. Journal of Integrative Plant Biology, 2005, 47(3): 343-349.
- [21] Zhang G H, Su Q, Wu S. Characterization and expression of a vacuolar Na<sup>+</sup>/H<sup>+</sup> antiporter gene from the monocot halophyte *Aeluropus littoralis* [J]. Plant Physiology and Biochemistry, 2008, 46: 117-126.
- [22] 张霞, 曾幼玲, 张富春. 胡杨 Na<sup>+</sup>/H<sup>+</sup> 反向运输载体(*PeNHX2*)基因的克隆与序列分析[J]. 生物技术, 2006, 16 (3): 8-13 (Zhang X, Zeng Y L, Zhang F C. Na<sup>+</sup>/H<sup>+</sup> antiporter gene cloning and sequence analysis in *Populus*[J]. Biotechnology, 2006, 16(3):8-13.)
- [23] 安宝燕, 罗琰, 高新起. 紫花苜蓿 Na<sup>+</sup>/H<sup>+</sup> 逆向转运蛋白基因在拟南芥中表达提高转基因植株的耐盐性 [J]. 作物学报, 2008, 34(4): 557-564. (An B Y, Luo Y, Gao Y Q. Overexpression *Arabidopsis* Na<sup>+</sup>/H<sup>+</sup> antiporter gene increased salt tolerance of *Arabidopsis*[J]. Crops, 2008, 34(4):557-564.)
- [24] 赵祥强, 汤巍, 李鑫. 互花米草中 NHX 基因片段的克隆与序列分析[J]. 安徽农业科学, 2009, 37(36): 17878-17907. (Zhao X Q, Tang W, Li X. NHX gene cloning and sequence analysis in the *Spartina* [J]. Journal of Anhui Agricultural Sciences, 2009, 37 (36):17878-17907.)
- [25] 郭庆水, 徐立新, 于伟. 木榄 Na<sup>+</sup>/H<sup>+</sup> 逆向转运蛋白基因的克隆[J]. 热带生物学报, 2010, 1(2): 105-109. (Guo Q S, Xu L X, Yu W. Na<sup>+</sup>/H<sup>+</sup> antiporter gene cloning in *Gymnorhiza* [J]. Tropical Biology, 2010, 1(2):105-109.)
- [26] Wu G Q, Xi J J, Wang S M. The *ZxNHX* gene encoding tonoplast Na<sup>+</sup>/H<sup>+</sup> antiporter from the xerophyte *Zygophyllum xanthoxylum* plays important roles in response to salt and drought[J]. Journal of Plant Physiology, 2011, 168(5): 51149-51159.
- [27] Saier M H, Eng B H, Hutchinson W J, et al. Phylogenetic characterization of novel transport protein families revealed by genome analyses[J]. Biochimica et Biophys Acta, 1999, 1422(1): 1-56.
- [28] Yokoi S, Beatriz Cubero, Jose M, et al. Differential expression and function of *Arabidopsis thaliana* NHX Na<sup>+</sup>/H<sup>+</sup> antiporters in the salt stress response[J]. The Plant Journal, 2002, 30(5): 529-539.
- [29] Zhang H X, Blumwald E. Transgenic salt-tolerant tomato Plants accumulate salt in fruit [J]. Nature Biotechnology, 2001, 19: 765-768.
- [30] Zhang H X, Hodson J N, Blumwald E. Engineering salt tolerant Brassica plants: Characterization of yield and seed oil quality in transgenic plants with increased vacuolar sodium accumulation [J]. Proceeding of the National Academy of Science of USA, 2001, 98:12832-12836.
- [31] Ohta M, Hayashi Y, Hayakawa T. Introduction of a Na<sup>+</sup>/H<sup>+</sup> antiporter gene from *Atriplex gmelini* confers salt tolerance to rice[J]. FEBS Letters, 2002, 532(3): 279-283.
- [32] He C, Yan J, Zhang H, et al. Expression of an *Arabidopsis* vacuolar sodium/proton antiporter gene in cotton improves photosynthetic performance under salt conditions and increases fiber yield in the field[J]. Plant Cell Physiology, 2005, 46(11): 1848-1854.
- [33] Wu Y Y, Chen Q J, Wang X C. Salt-tolerant transgenic perennial ryegrass (*Lolium perenne* L.) obtained by *Agrobacterium tumefaciens*-mediated transformation of the vacuolar Na<sup>+</sup>/H<sup>+</sup> antiporter gene[J]. Plant Science, 2005, 169:65-73.
- [34] Li B, Li N, Zhang J R, et al. Generation of marker-free transgenic maize with improved salt tolerance using the FLP/FRT recombination system[J]. Journal of Biotechnology, 2010, 45:206-213.
- [35] Tian N, Wang J, Xu Z Q. Overexpression of Na<sup>+</sup>/H<sup>+</sup> antiporter gene *AtNHX1* from *Arabidopsis thaliana* improves the salt tolerance of kiwifruit (*Actinidia deliciosa*) [J]. South African Journal of Botany, 2011, 77:160-169.